

Perguntas Frequentes:

Vc já defendeu?

Vc têm trabalhado com outras coisas?

Tem alguma coisa sobre seu trabalho de PCA que vc ainda não falou?

Algumas...



Análise por Componentes Principais: Detalhes e Curiosidades nas aplicações cosmológicas

Émille Ishida

*Trabalho em colaboração com Ribamar Reis,
Bruno Lago e Ioav Waga*

IX Workshop Nova Física no Espaço
28 de fevereiro a 05 de março de 2010



Análise por Componentes Principais (PCA)

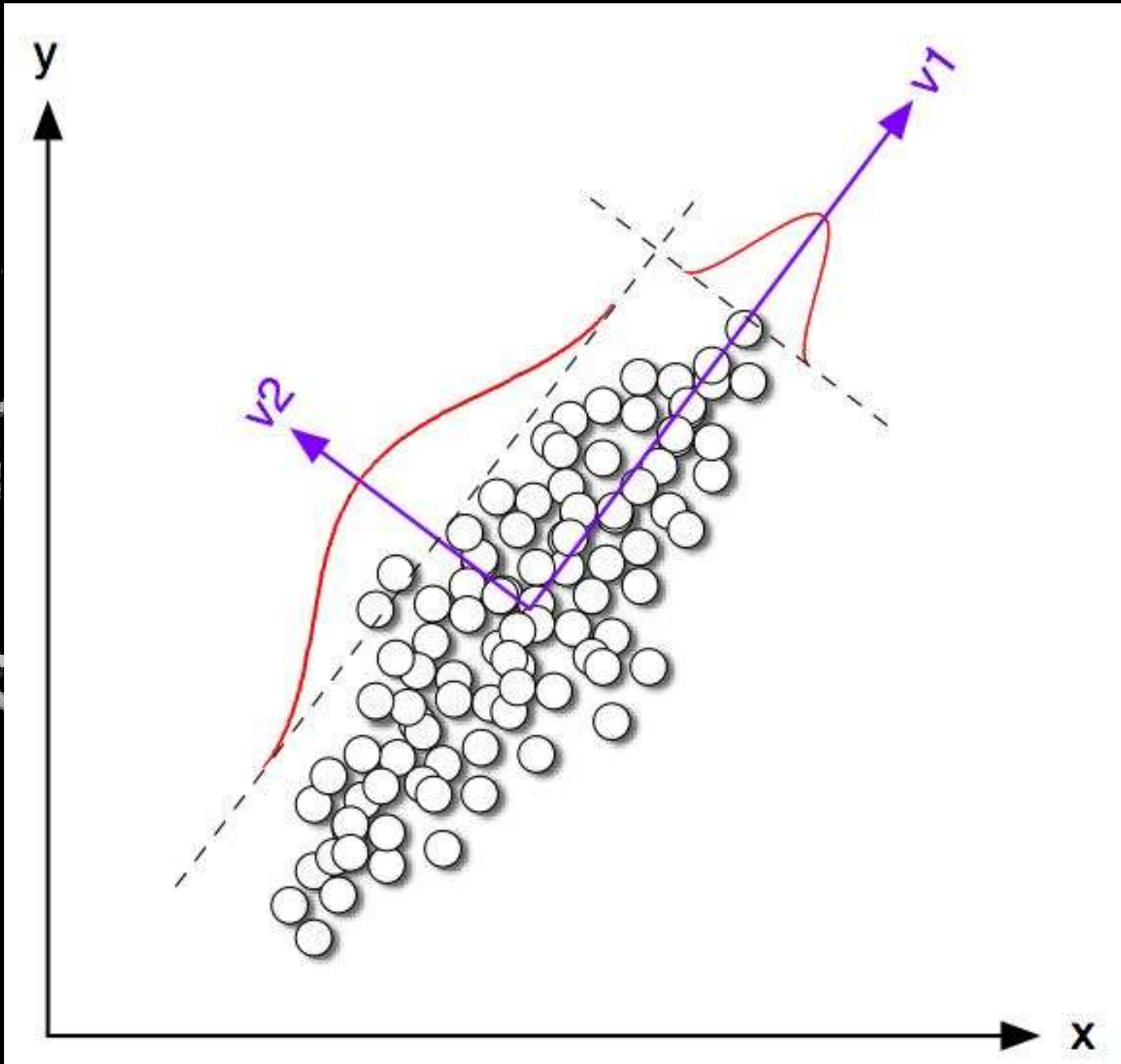
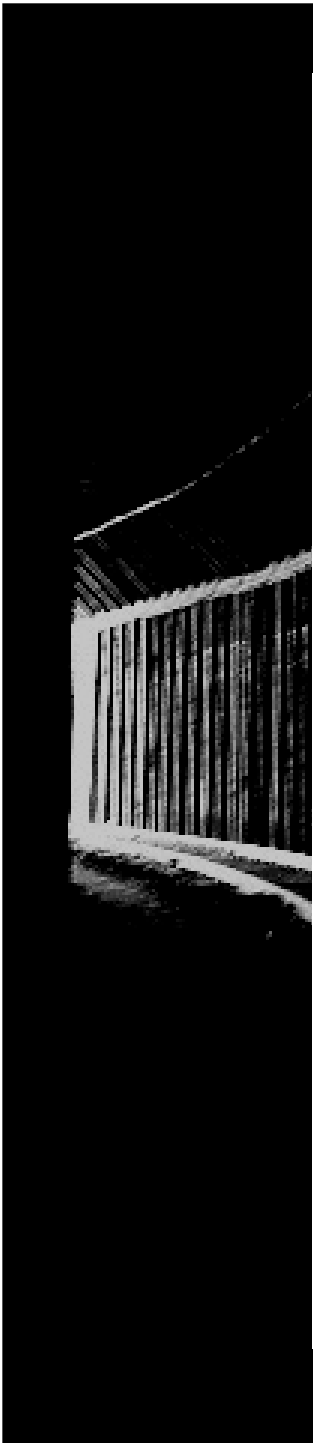
Dada uma amostra de: n objetos;
 p observáveis - x_i ($i=1,2,3,\dots,p$)

Procuramos um novo conjunto de p novas
variáveis (ξ_1, \dots, ξ_p), cada uma formada por uma
combinação linear das originais

Componentes Principais

$$\xi_i = \alpha_{i1}x_1 + \dots + \alpha_{ij}x_j + \dots + \alpha_{ip}x_p$$

Determinamos então α_{ij} de modo que o menor número de variáveis contenha a maior parte da variância



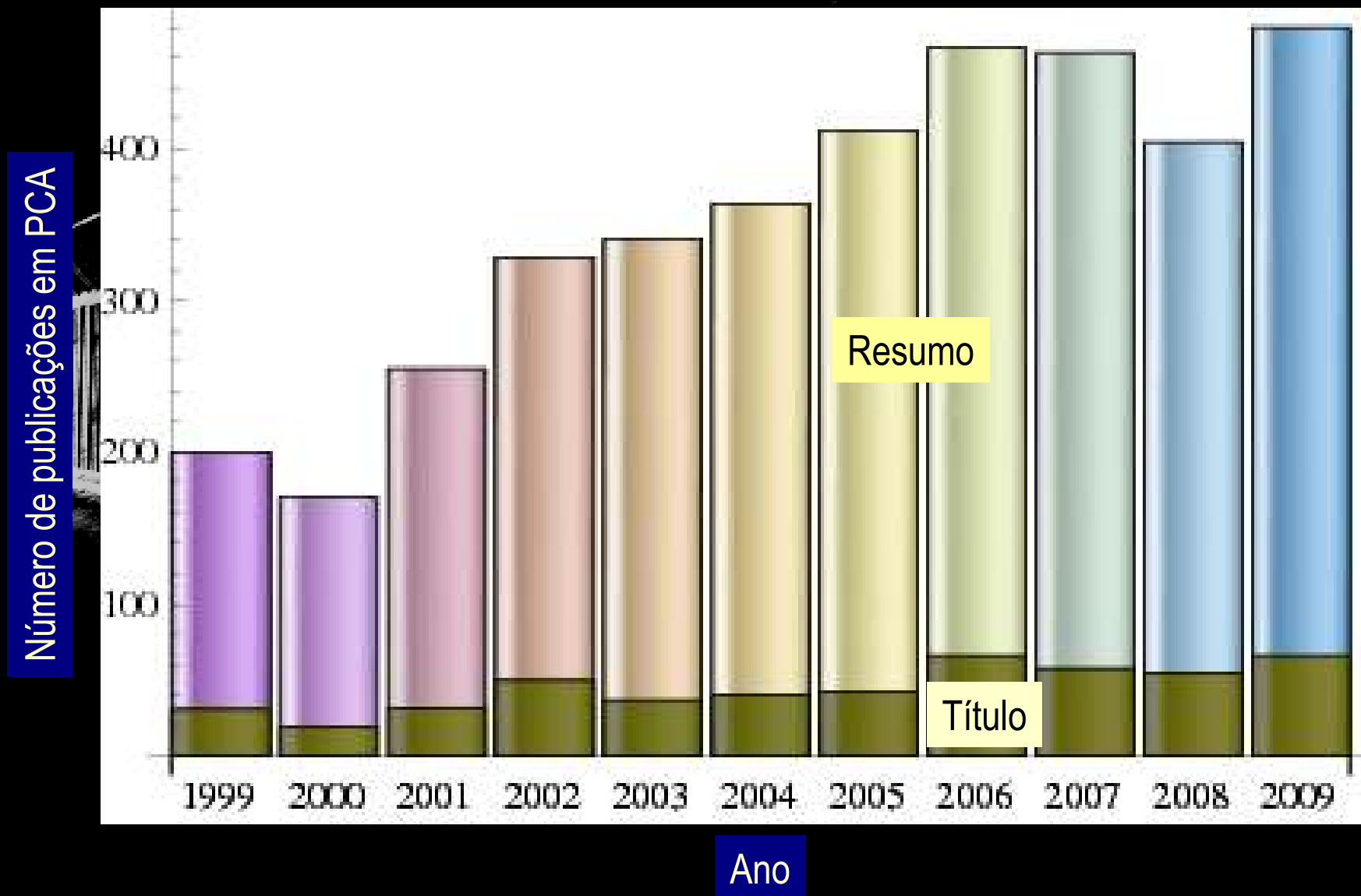


Solidão pré-tese

No processo de redação... as referências!



PCA no ADS nos últimos 10 anos...



Trabalhos importantes:

THE ASTROPHYSICAL JOURNAL, 480:22–35, 1997 May 1

KARHUNEN-LOÈVE EIGENVALUE PROBLEMS IN COSMOLOGY: HOW SHOULD WE TACKLE LARGE DATA SETS?

MAX TEGMARK¹ ANDY N. TAYLOR ALAN F. HEAVENS

VOLUME 90, NUMBER 3

PHYSICAL REVIEW LETTERS

week ending
24 JANUARY 2003

Parametrization of Dark-Energy Properties: A Principal-Component Approach

Dragan Huterer and Glenn Starkman

THE ASTROPHYSICAL JOURNAL, 649:563–569, 2006 October 1

WHAT DO WE REALLY KNOW ABOUT COSMIC ACCELERATION?

CHARLES SHAPIRO^{1,2} AND MICHAEL S. TURNER^{1,2,3}

Findings of the
Joint Dark Energy Mission
Figure of Merit Science Working Group

Andreas Albrecht, Luca Amendola, Gary Bernstein, Douglas Clowe, Daniel Eisenstein, Luigi Guzzo, Christopher Hirata, Dragan Huterer, Robert Kirshner, Edward Kolb, Robert Nichol

arXiv:0901.0721v1

Being PC: Principal Components and Dark Energy

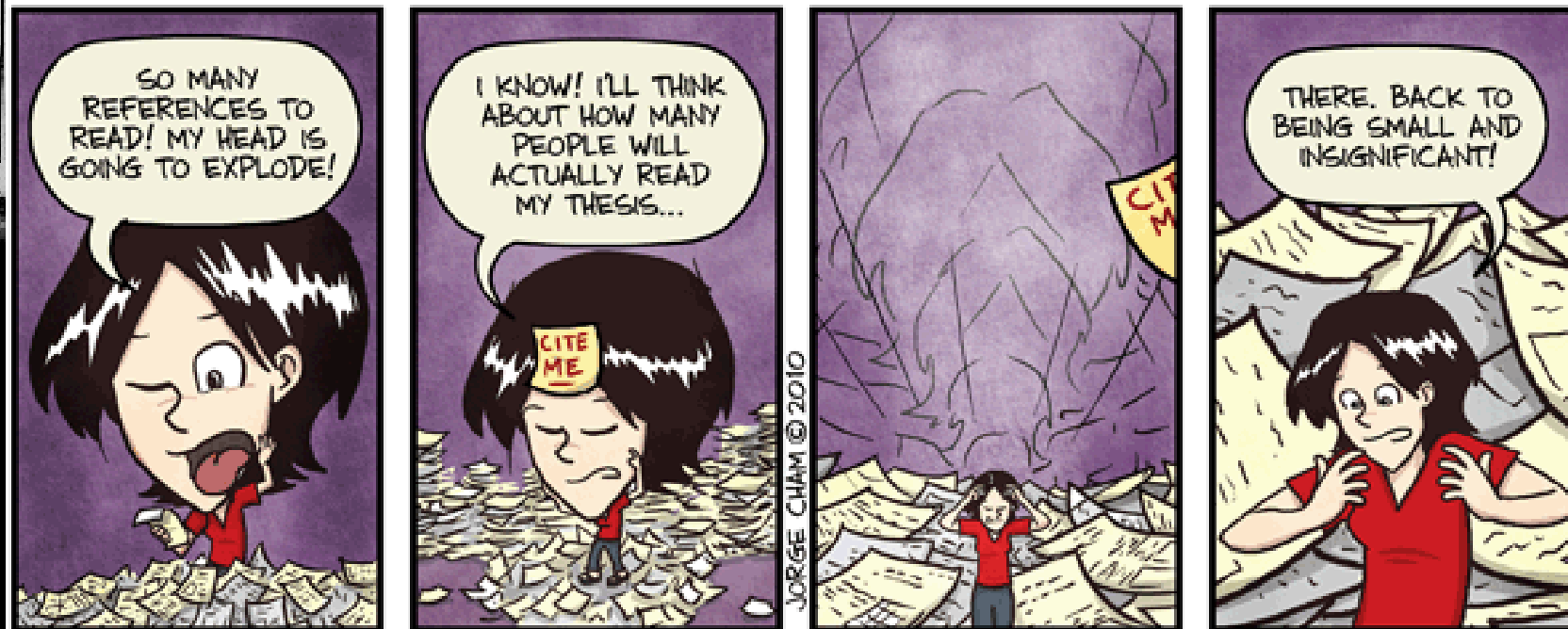
Roland de Putter and Eric V. Linder

arXiv:0812.1794v1

Fisher Matrix Decomposition for Dark Energy Prediction

MNRAS, Volume 398, Issue 4, pp. 2134-2142

T. D. Kitching^{1*}, A. Amara²



WWW.PHDCOMICS.COM

Diferentes maneiras de determinar a matriz de Covariância...

Matriz de Fisher

$$F_{ij} = (C^{-1})_{ij} = \left\langle -\frac{\partial^2 \ln L}{\partial \beta_i \partial \beta_j} \right\rangle$$

Foco no Parâmetro de Desaceleração

$$q = -\frac{\ddot{a}}{aH^2} = \frac{d}{dt} \left(\frac{1}{H} \right) - 1.$$

$$H(z) = H_0 \exp \left[\int_0^z \frac{(q(v) + 1)}{(1 + v)} dv \right]$$

$$D_C = \int_{t_0}^t \frac{dz}{H(z)}$$

Coisas que eu já falei...

Shapiro & Turner (2006)...

$$q(z) = \sum_{i=1}^N \beta_i c_i(z)$$

onde

$$\begin{cases} c_i(z) = 1, & z \in \Delta z_i \\ c_i(z) = 0, & z \notin \Delta z_i \end{cases}$$

- ✓ $\Delta z = 0.10$;
- ✓ Dados do SDSS
(Kessler et al. 2009)

Probabilidade gaussiana
para cada evento...

$$f(\mu_i; \sigma_i, \mu(\bar{\theta})) = \frac{1}{\sigma_i \sqrt{2\pi}} \exp\left[-\frac{(\mu_i - \mu(\bar{\beta}))^2}{2\sigma_i^2}\right]$$

Distância Módulo

$$\mu(z) = 25 + 5 \log \left[\frac{1+z}{H_0 \text{Mpc}} \int_0^z du \exp \left(- \int_0^u [1+q(u)] d \ln(1+v) \right) \right]$$

Coisas que eu já falei...

Forma analítica para a Matriz de Fisher

(está no apêndice... mas é bastante importante!)

$$F_{kl} = \frac{25}{\ln(10)^2} \left\{ \frac{1}{C} \sum_{i=1}^N \left[\frac{1}{D_L(z_i; \bar{\beta})} \frac{\partial D_L(z_i; \bar{\beta})}{\partial \beta_k} \right] \times \right. \\ \times \sum_{j=1}^N \left[\frac{1}{\sigma_j^2} \frac{1}{D_L(z_j; \bar{\beta})} \frac{\partial D_L(z_j; \bar{\beta})}{\partial \beta_l} \right] + \\ \left. - \sum_{i=1}^N \frac{1}{\sigma_i^2} \frac{1}{D_L(z_i; \bar{\beta})^2} \frac{\partial D_L(z_i; \bar{\beta})}{\partial \beta_k} \frac{\partial D_L(z_i; \bar{\beta})}{\partial \beta_l} \right\},$$

onde

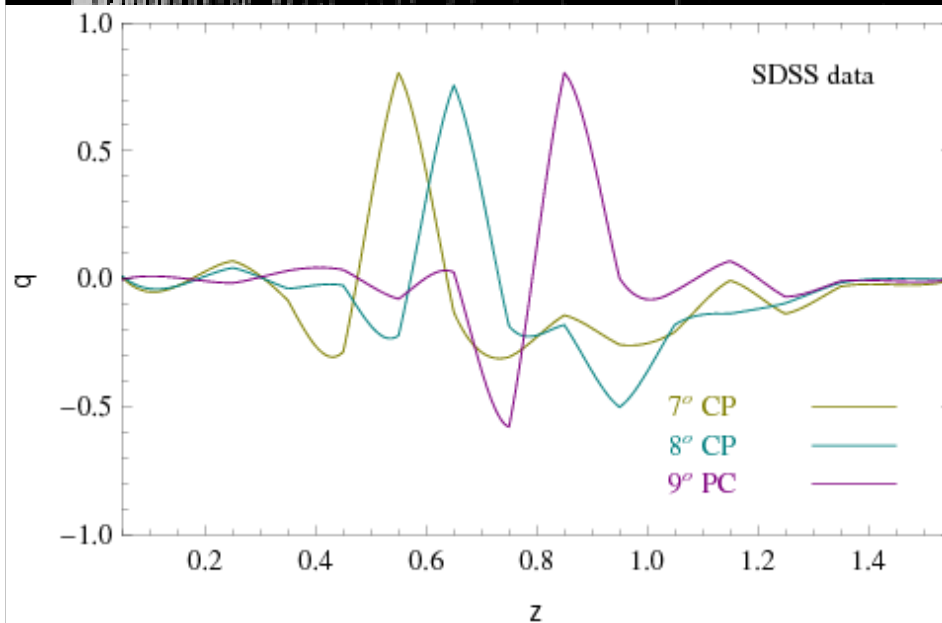
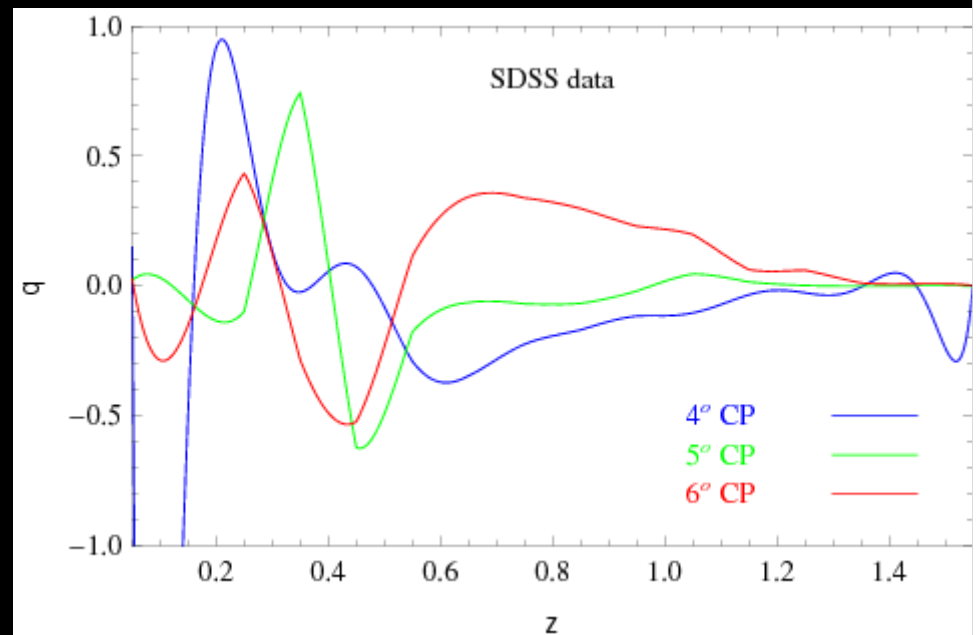
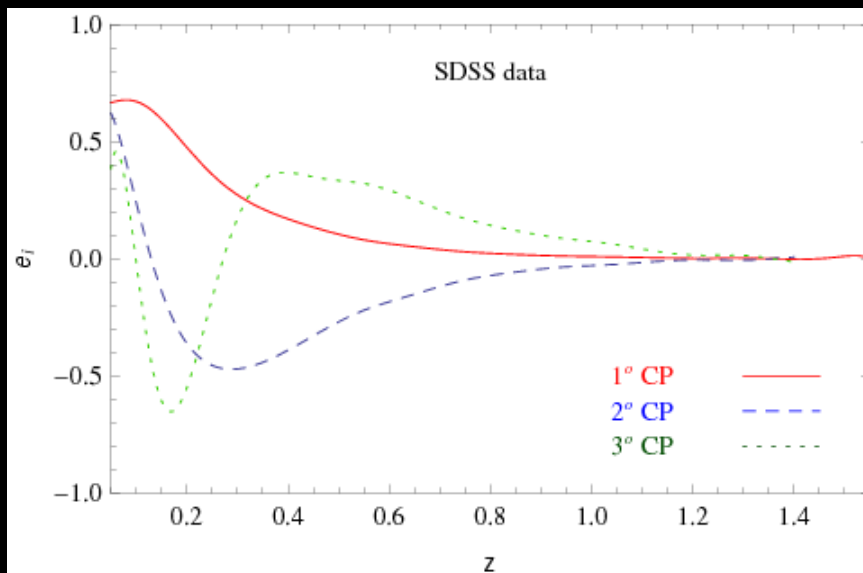
$$\frac{D_L(z)}{H_0} = (1+z) \int_0^z \frac{du}{H(u)}$$

$$\frac{\partial D_L(z, \bar{\beta})}{\partial \beta_l} = (1+z) \left[\frac{\partial f_1(z; \bar{\beta})}{\partial \beta_l} + \frac{\partial f_2(z; \bar{\beta})}{\partial \beta_l} \right]$$

$$\frac{\partial f_1}{\partial \beta_l} = \sum_{k=1}^J \left\{ \left[\prod_{i=1}^{k-1} \left(\frac{1+z_i}{1+z_{i-1}} \right)^{-\beta_i} \right] \times \right. \\ \times \left\{ \left(\frac{\delta_{kl}}{\beta_k} \right) \left[\left(\frac{1+z_k}{1+z_{k-1}} \right)^{-\beta_k} \ln \left(\frac{1+z_k}{1+z_{k-1}} \right) + \right. \right. \\ \left. \left. - \frac{1}{\beta_k} \left(1 - \left(\frac{1+z_k}{1+z_{k-1}} \right)^{-\beta_k} \right) \right] + \right. \\ \left. - \Theta(k-1-l) \left[\ln \left(\frac{1+z_l}{1+z_{l-1}} \right) \left(\frac{1}{\beta_k} \right) \times \right. \right. \\ \left. \left. \times \left[1 - \left(\frac{1+z_k}{1+z_{k-1}} \right)^{-\beta_k} \right] \right] \right\} \right\},$$

$$\frac{\partial f_2}{\partial \beta_l} = \prod_{i=1}^J \left(\frac{1+z_i}{1+z_{i-1}} \right)^{-\beta_i} \times \\ \times \left\{ \frac{\delta_{(J)l}}{\beta_{J+1}} \left[\left(\frac{1+z}{1+z_J} \right)^{-\beta_{J+1}} \ln \left(\frac{1+z}{1+z_J} \right) + \right. \right. \\ \left. \left. - \frac{1}{\beta_{J+1}} \left[1 - \left(\frac{1+z}{1+z_J} \right)^{-\beta_{J+1}} \right] \right] + \right. \\ \left. - \left[\frac{\Theta(J-l)}{\beta_{J+1}} \ln \left(\frac{1+z_l}{1+z_{l-1}} \right) \left[1 - \left(\frac{1+z}{1+z_J} \right)^{-\beta_{J+1}} \right] \right] \right\}.$$

Componentes encontrados com dados de SNIa do SDSS



Reconstrução de $q(z)$

$$q(z; \bar{\alpha}) = \sum_{i=1}^{M'} \alpha_i e_i(z)$$

$$\sigma_{rec}^2(z) = \sum_{j=1}^{M'} (\sigma_{\alpha_j} e_j(z))^2 + (\alpha_j \sigma_j)^2.$$



$$\chi^2 = \sum_{i=1}^N \frac{(\mu_i - \mu_{th}(z_i; \bar{\alpha}))^2}{\sigma_i^2}$$

Critérios de Seleção:

Quantos componentes usar na reconstrução?

Porcentagem cumulativa da variância total

Porcentagem cumulativa da variância total ($t_{M'}$)

Os autovalores representam a porcentagem da variância total que está incluída na construção do autovetor correspondente...

$$t_{M'} = 100 \frac{\sum_{i=1}^{M'} \lambda_i}{\sum_{j=1}^M \lambda_j}.$$

CP	$t_{M'}$
1	81.5
2	94.8
3	98.1
4	99.5
5	99.8

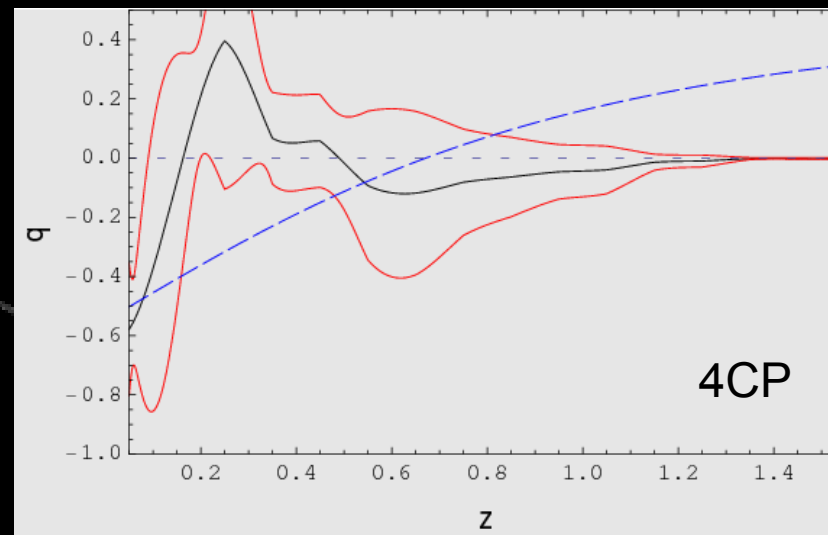
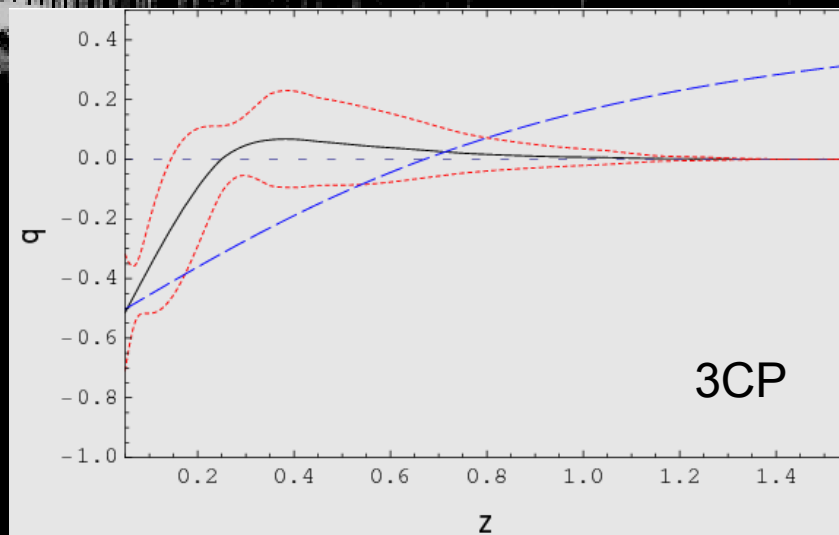
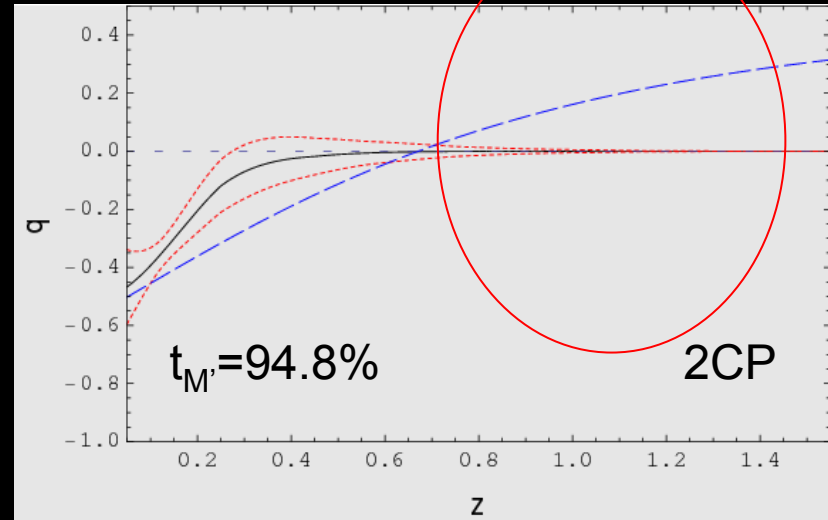
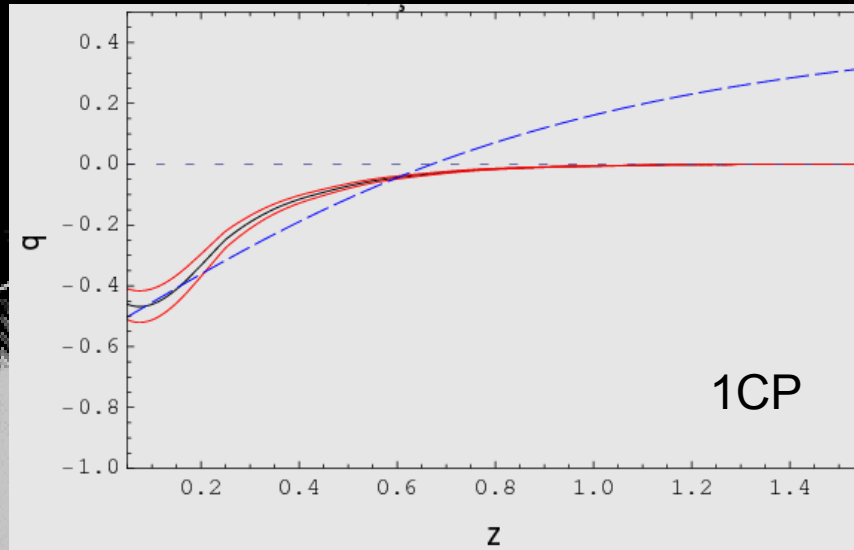
... desta forma para um determinado conjunto de dados, podemos definir um valor mínimo dessa variância que julgamos necessário para representar as características presente nos dados.

Data set	$t_{M'}$
Current data	$\geq 90,0\%$
Simulation - stage 1	$\geq 95,0\%$
Simulation - stage 2	$\geq 99,0\%$
Simulation - stage 3	$\geq 99,9\%$

Table 1: Values of minimum $t_{M'}$ required for determining the number of components to use in the deceleration parameter reconstruction for data set of luminosity distances and angular diameter distances measurements.

Reconstrução de $q(z)$

Por que tudo sempre vai a zero?



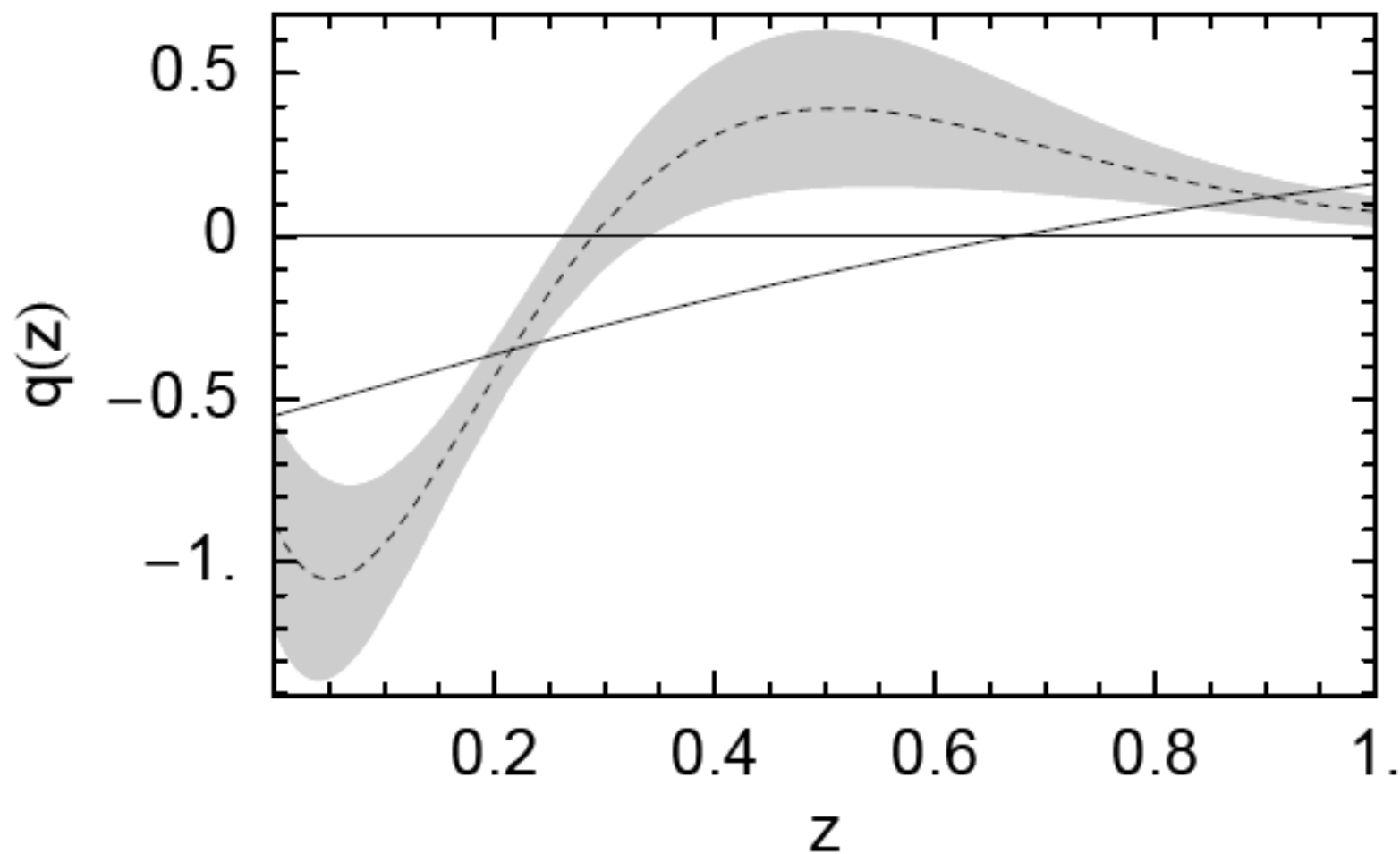
O que ainda não falei sobre a Reconstrução de $q(z)$

$$q(z; \bar{\alpha}) = \sum_{i=1}^{M'} \alpha_i e_i(z) + q_{fid} = 0$$

... quando não existe
informação nos dados

Quando existe informação...

Definimos um limite superior para z , até o qual consideramos a reconstrução livre de características que não estão presentes nos dados. Este limite é definido de acordo com o valor de z onde a derivada da reconstrução é nula e posteriormente o comportamento tende ao valor imposto para $q(z)$.

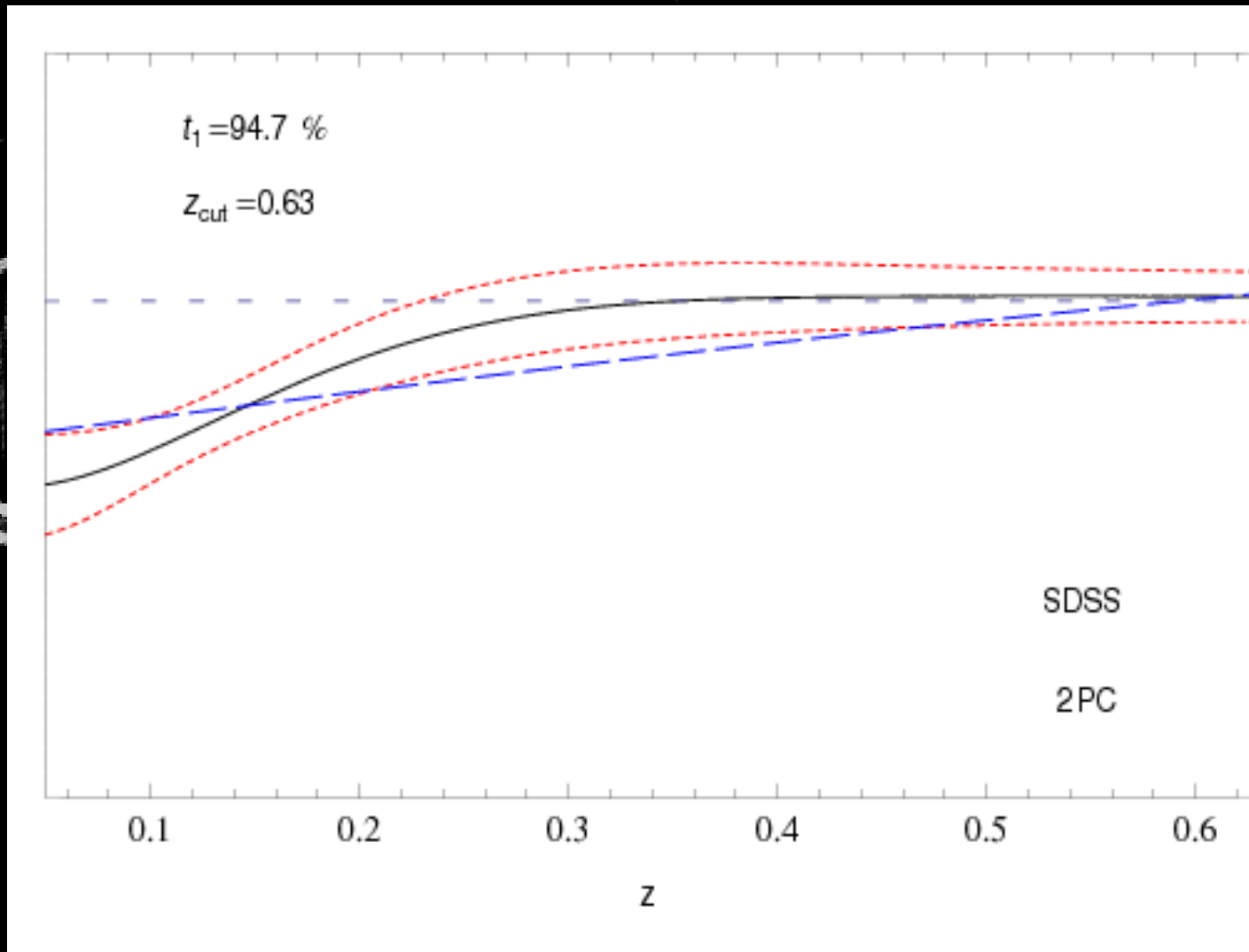


THE ASTROPHYSICAL JOURNAL, 649:563–569, 2006 October 1

WHAT DO WE REALLY KNOW ABOUT COSMIC ACCELERATION?

CHARLES SHAPIRO^{1,2} AND MICHAEL S. TURNER^{1,2,3}

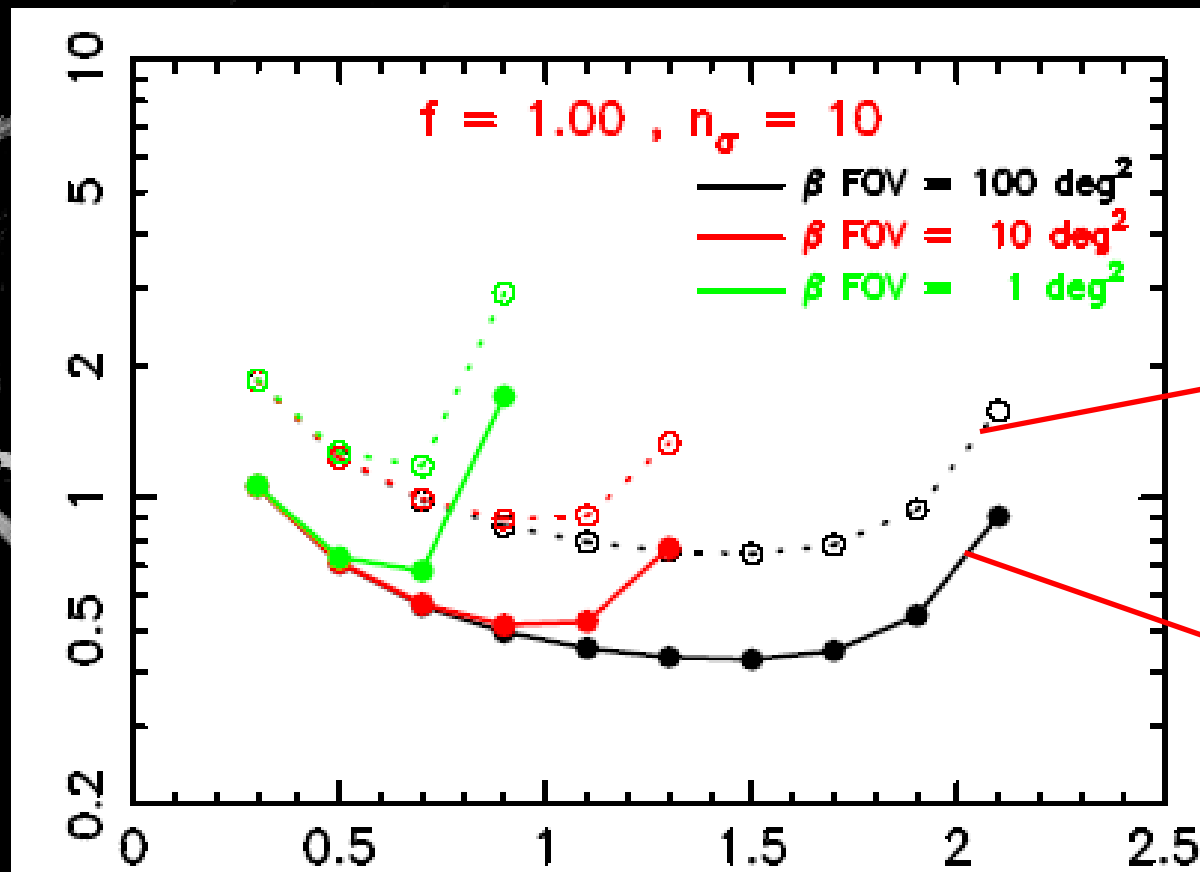
Reconstrução final para dados do SDSS



Podemos fazer a mesma coisa para BAO

De acordo com *Abdalla et al., 2009*, um experimento como o SKA resultará em:

Incertezas



Parâmetro de Hubble

Distância diâmetro angular

z

Matriz de Fisher analítica para $D_A(z)$

$$d_A(z) = \frac{1}{(1+z)^2} dL(z) = \frac{1}{(1+z)} \int_0^z \frac{du}{H(u)}.$$

$$E \equiv \sum_{i=1}^N \frac{d_{A_i}^2}{\sigma_{data_i}^2},$$

$$F \equiv \sum_{i=1}^N \frac{d_{A_i} D_A(z_i; \bar{\beta})}{\sigma_{data_i}^2},$$

$$G \equiv \sum_{i=1}^N \frac{D_A(z_i; \bar{\beta})^2}{\sigma_{data_i}^2}.$$

$$F_{kl}^{DA} = \left\langle -\frac{\partial^2 \ln L_{DA}}{\partial \beta_k \partial \beta_l} \right\rangle = -\frac{1}{G^2} \frac{\partial G}{\partial \beta_k} \frac{\partial G}{\partial \beta_l} \left(\frac{F^2}{G} - \frac{1}{2} \right) - \frac{1}{2G} \frac{\partial^2 G}{\partial \beta_k \partial \beta_l} \left(1 - \frac{F^2}{G} \right) +$$

$$-\frac{1}{G} \frac{\partial F}{\partial \beta_k} \frac{\partial F}{\partial \beta_l} + \frac{F}{G^2} \frac{\partial G}{\partial \beta_k} \frac{\partial F}{\partial \beta_l} - \frac{F}{G} \frac{\partial^2 F}{\partial \beta_k \partial \beta_l} + \frac{F}{G^2} \frac{\partial F}{\partial \beta_k} \frac{\partial G}{\partial \beta_l}.$$

Matriz de Fisher analítica para $H(z)$

$$K \equiv \sum_{i=1}^N \frac{h_i g(z_i; \bar{\beta})}{\sigma_{data_i}^2},$$

$$L \equiv \sum_{i=1}^N \frac{h_i^2}{\sigma_{data_i}^2},$$

$$M \equiv \sum_{i=1}^N \frac{g(z_i; \bar{\beta})^2}{\sigma_{data_i}^2},$$

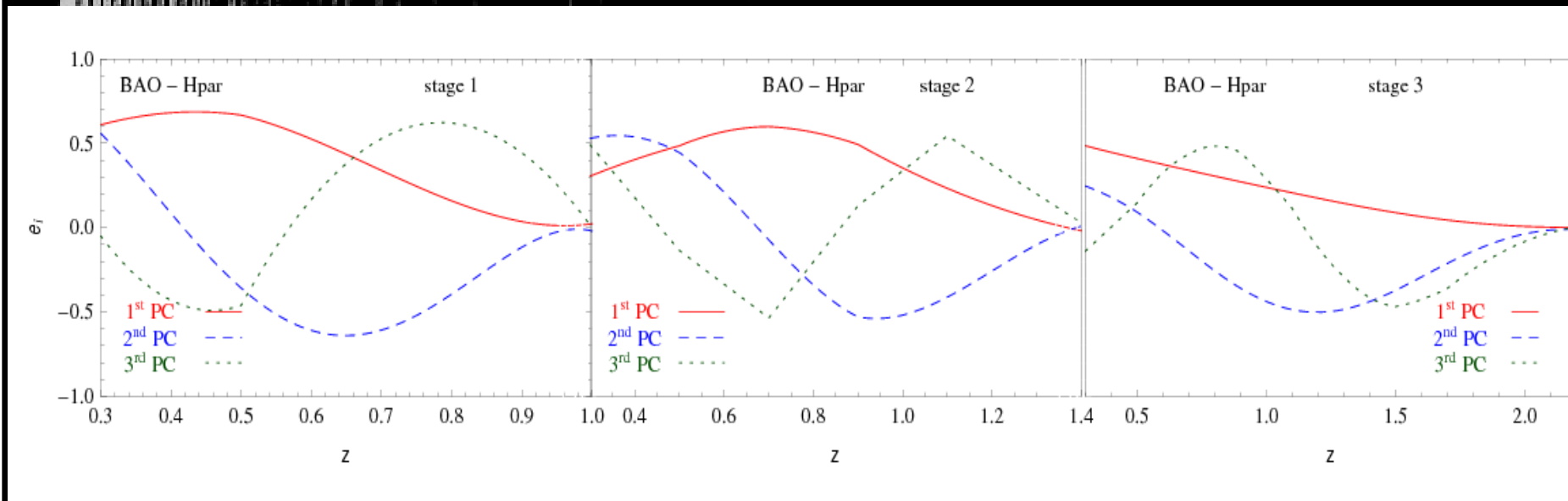
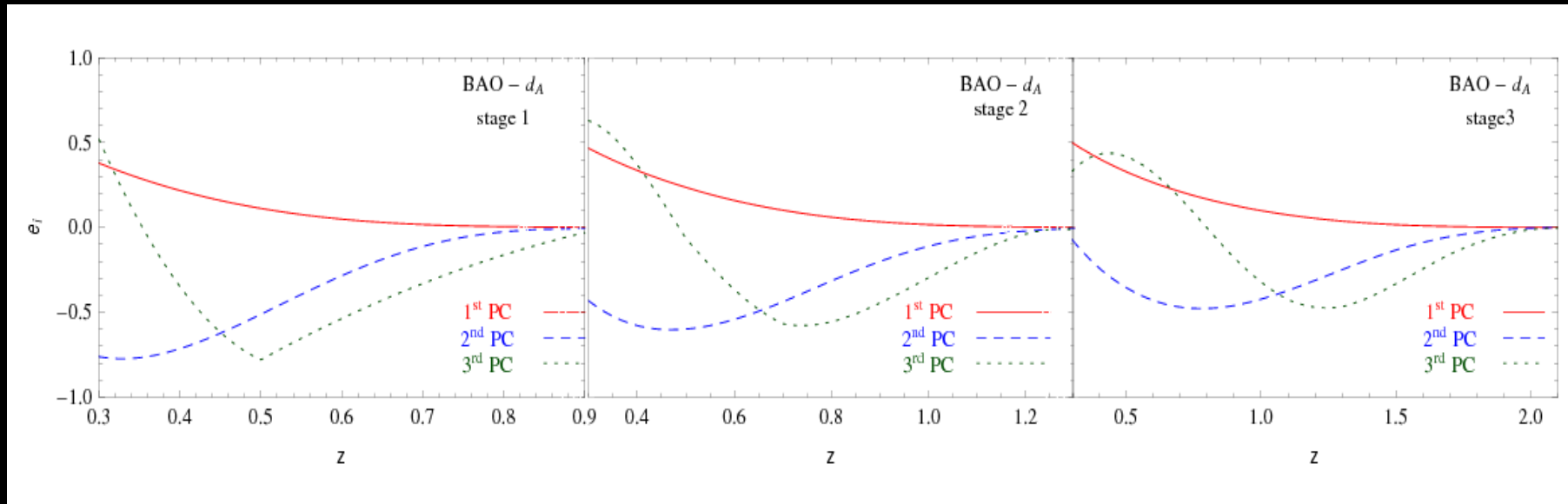
$$g(z; \bar{\beta}) = (1+z) \left[\prod_{i=1}^J \left(\frac{1+z_i}{1+z_{i-1}} \right)^{\beta_i} \right] \left(\frac{1+z}{1+z_J} \right)^{\beta_{J+1}},$$

$$\frac{\partial g(z; \bar{\beta})}{\partial \beta_l} = (1+z) \left[\prod_{i=1}^J \left(\frac{1+z_i}{1+z_{i-1}} \right)^{\beta_i} \right] \left(\frac{1+z}{1+z_J} \right)^{\beta_{J+1}} \times \\ \times \left\{ \Theta(J+1-l) \ln \left(\frac{1+z_l}{1+z_{l-1}} \right) + \delta_{J+1,l} \ln \left(\frac{1+z}{1+z_J} \right) \right\}$$

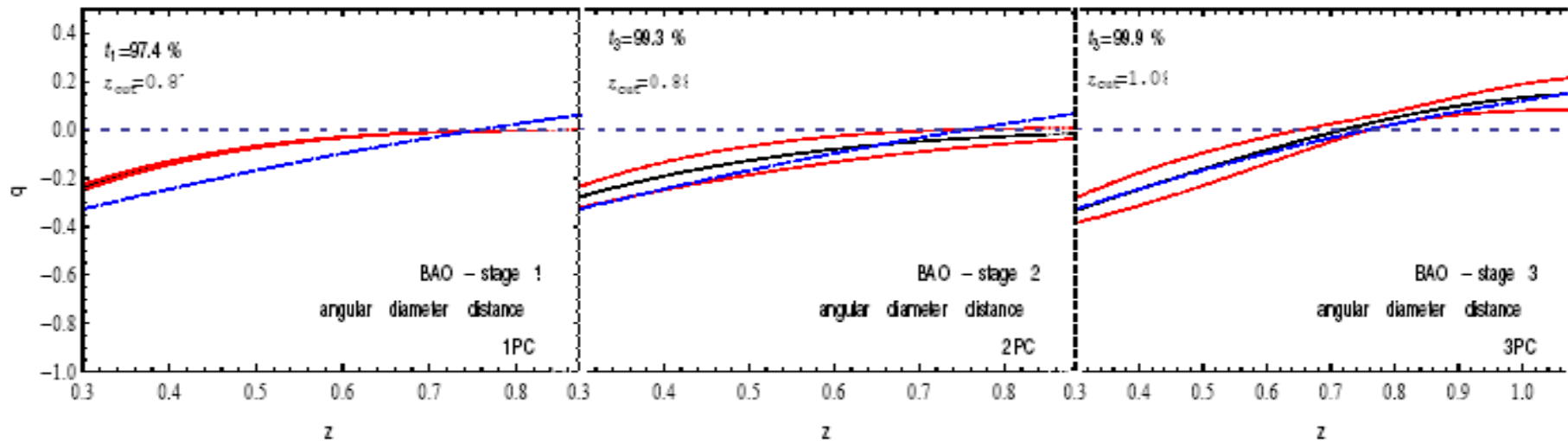
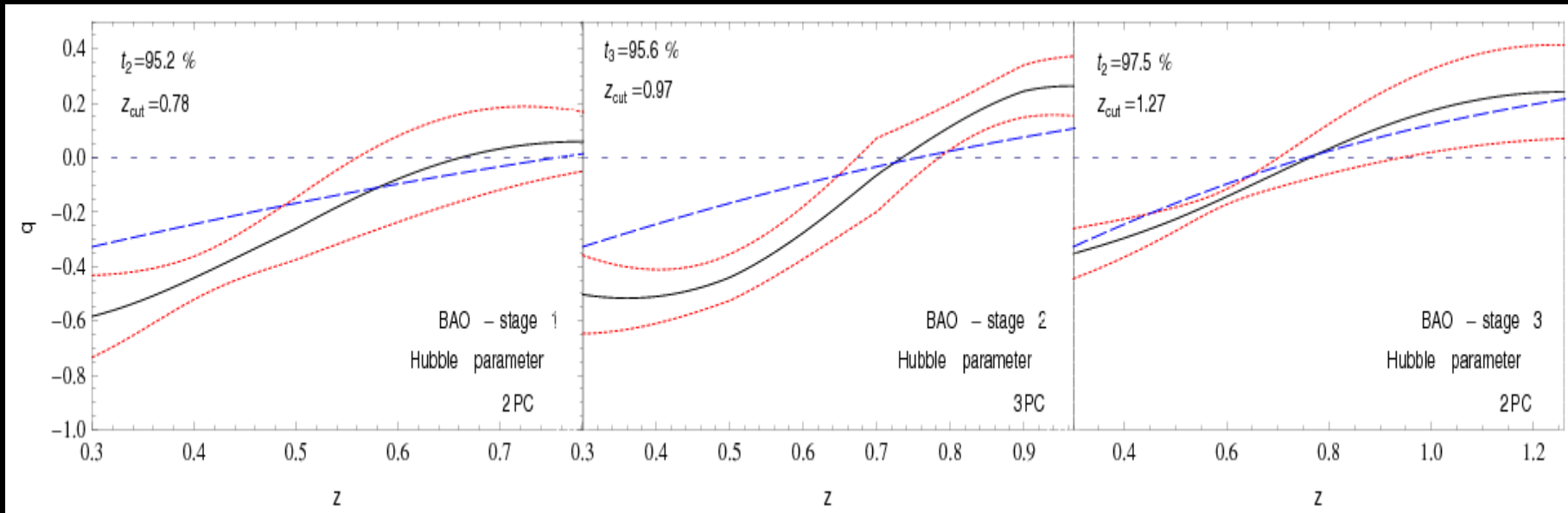
$$\frac{\partial^2 g(z; \bar{\beta})}{\partial \beta_k \partial \beta_l} = (1+z) \left[\prod_{i=1}^J \left(\frac{1+z_i}{1+z_{i-1}} \right)^{\beta_i} \right] \left(\frac{1+z}{1+z_J} \right)^{\beta_{J+1}} \times \\ \times \left\{ \Theta(J+1-k) \ln \left(\frac{1+z_k}{1+z_{k-1}} \right) + \delta_{J+1,k} \ln \left(\frac{1+z}{1+z_J} \right) \right\} \times \\ \times \left\{ \Theta(J+1-l) \ln \left(\frac{1+z_l}{1+z_{l-1}} \right) + \delta_{J+1,l} \ln \left(\frac{1+z}{1+z_J} \right) \right\}$$

$$F_{kl}^H = \left\langle -\frac{\partial^2 \ln L_H}{\partial \beta_k \partial \beta_l} \right\rangle = -\frac{1}{2M^2} \frac{\partial M}{\partial \beta_k} \frac{\partial M}{\partial \beta_l} \left(1 + \frac{K^2}{M} \right) + \frac{1}{2M} \frac{\partial^2 M}{\partial \beta_k \partial \beta_l} \left(1 + \frac{K^2}{M} \right) + \frac{K}{M^2} \frac{\partial K}{\partial \beta_k} \frac{\partial M}{\partial \beta_l} + \\ -\frac{K^2}{2M^3} \frac{\partial M}{\partial \beta_k} \frac{\partial M}{\partial \beta_l} - \frac{1}{M} \frac{\partial K}{\partial \beta_k} \frac{\partial K}{\partial \beta_l} + \frac{K}{M^2} \frac{\partial M}{\partial \beta_k} \frac{\partial K}{\partial \beta_l} - \frac{K}{M} \frac{\partial^2 K}{\partial \beta_k \partial \beta_l}. \quad (2.20)$$

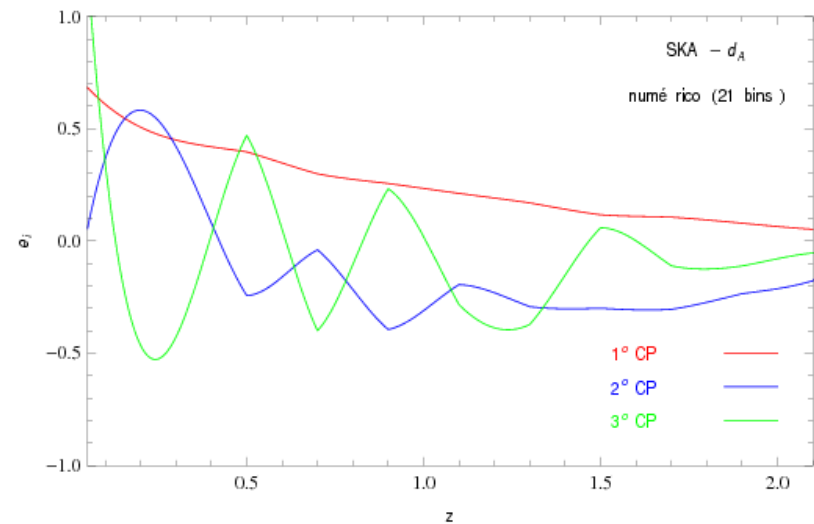
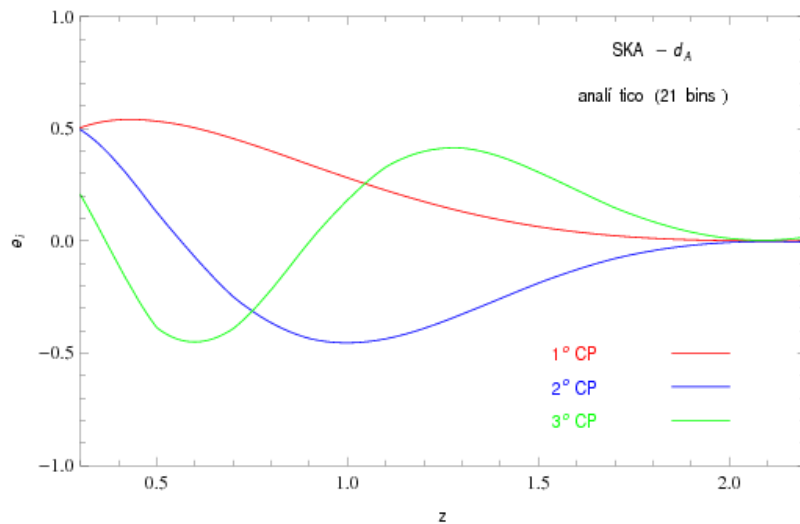
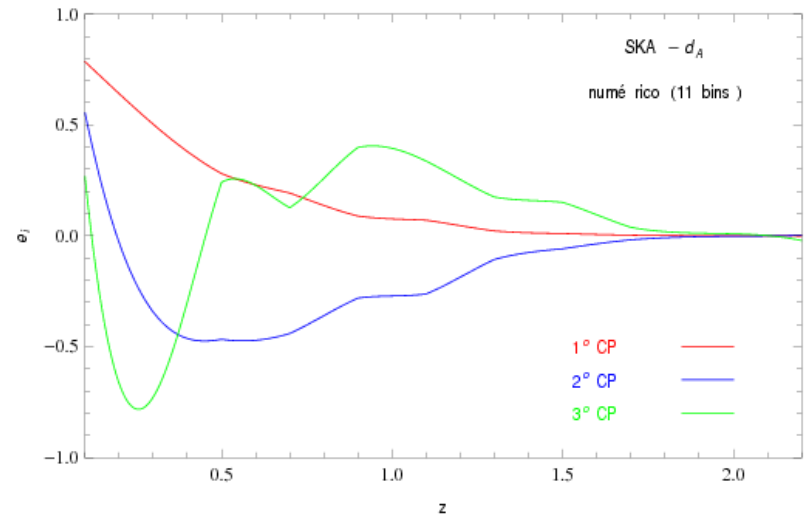
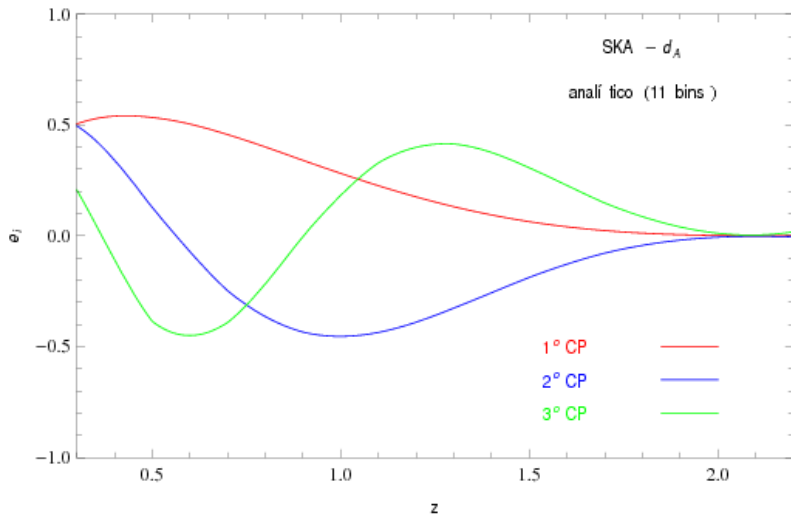
Componentes diferentes exigem critérios diferentes



Reconstruções Finais



FAQ, parte 2: Por que tanta conta?



Conclusões:

Vale a pena usar as contas analíticas;

*Resultados independentes de modelo cosmológico
ou teoria de gravitação*

*Existem pontos importantes em relação à reconstrução
que muitas vezes não é sequer comentada na literatura*

*O procedimento apresentado aqui pode vir a ser um
boa maneira de fugir aos erros numéricos e as
formais funcionais impostas por parametrizações.*

